

A Bandpass Filter Using Symmetrical Coplanar Structure without backed ground plane

อภิรดา นามแสง¹

คณะวิศวกรรมศาสตร์ สถาบันเทคโนโลยีราชมงคล

โทร: 0-2549-3429 โทรสาร: 0-2549-3422

บทคัดย่อ

บทความวิจัยฉบับนี้ได้นำเสนอวงจรรองผ่านแถบแบบลดขนาดโดยใช้โครงสร้างสายนำสัญญาณระนาบร่วมชนิดที่ไม่มีกราวด์ด้านล่างแบบสมมาตร ซึ่งได้ทำการจำลองแบบการทำงานด้วยโปรแกรม IE3D ZELAND ซึ่งเป็นโปรแกรมออกแบบวงจรทางระบบสื่อสารไมโครเวฟพร้อมทั้งวิเคราะห์ค่าต่างๆที่ความถี่กลางประมาณ 2 GHz โดยวงจรรองผ่านแถบนี้ได้นำสายนำสัญญาณแบบวงจรเปิด มาใช้ร่วมกับสายนำสัญญาณแบบวงจรปิด

Abstract

This paper presents A Bandpass Filter Using Symmetrical Coplanar Structure without backed ground plane. The filters were computerized designed at the operating frequency around 2 GHz by employing IE3D ZELAND programs. The proposed filter uses open and short transmission line together due to the open transmission line employed to size reduction.

1. บทนำ

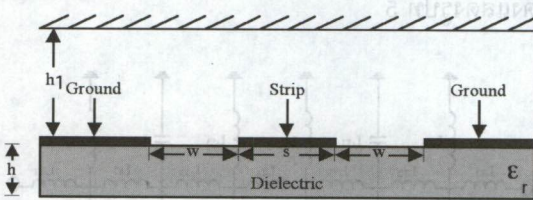
วงจรรองผ่านแถบ เป็นวงจรรองความถี่ที่ถูกนำมาใช้งานกันอย่างแพร่หลาย โดยเฉพาะในระบบการสื่อสารและได้นำมาประยุกต์ใช้ในงานอุตสาหกรรมอื่น ๆ อีกมากมาย ซึ่งทำหน้าที่กำจัดแถบความถี่ที่ไม่ต้องการทิ้งไป และจะคงเฉพาะแถบความถี่ที่ต้องการไว้ ปัจจุบันเทคโนโลยีได้มีการพัฒนาไปอย่างไม่หยุดยั้งเพื่อให้ทันต่อเทคโนโลยีที่เปลี่ยนไป จึงได้มีผู้วิจัยและพัฒนาวงจรรองผ่านแถบตลอดมา เริ่มแรกวงจรรองผ่านแถบจะมีโครงสร้างเป็นแบบไมโครสตริปมีขนาดใหญ่และจะมีข้อจำกัด เช่น ปัญหาการต่ออุปกรณ์ลงกราวด์ เพราะจะต้องมีช่องผ่าน (Via holes) เพื่อเชื่อมต่ออุปกรณ์ด้านบนกับระนาบกราวด์ด้านล่าง ทำให้มีความผิดเพี้ยนของสัญญาณสูง (High Dispersion) การสูญเสียสูง (High Insertion Loss) และแบนด์วิดท์ที่มีขนาดกว้างมาก ต่อมาผู้วิจัยนำเสนอวงจรรองผ่านแถบด้วยโครงสร้างระนาบร่วมสายนำสัญญาณระนาบร่วม ซึ่งโครงสร้างชนิดนี้จะมีสายนำสัญญาณอยู่ด้านเดียวกับกราวด์ ทำให้สามารถหลีกเลี่ยงปัญหาดังกล่าวได้ และเป็นโครงสร้างที่ง่ายในการออกแบบ ได้แบนด์วิดท์ที่แคบ เมื่อมีการต่ออุปกรณ์เพิ่มเติมทั้งชนิดแอกทีฟหรือพาสซีฟ ต่อนุกรมหรือนาน วงจรรวมที่ได้ มีขนาดที่ไม่ใหญ่เกินไป กระจายตามความถี่ (Dispersion) และการสูญเสียเนื่องจากการใช้สายนำสัญญาณแบบไมโครสตริป และสามารถนำไปพัฒนาเป็นวงจรรวมไมโครเวฟได้ในอนาคต

¹อาจารย์ประจำภาควิชาวิศวกรรมไฟฟ้า คณะวิศวกรรมศาสตร์ สถาบันเทคโนโลยีราชมงคล

2. ทฤษฎีที่เกี่ยวข้อง

คุณลักษณะของสายนำสัญญาณระนาบร่วมชนิดไม่มีกราวด์ด้านล่าง

สายนำสัญญาณระนาบร่วมถูกคิดค้นขึ้นโดย Wen ในปี ค.ศ. 1969 ในที่นี้จะขอกว่าถึงสายนำสัญญาณแบบระนาบร่วมชนิดที่ได้มีการนำมาวิจัย คือ สายนำสัญญาณระนาบร่วมชนิดที่ไม่มีกราวด์ด้านล่าง (Coplanar Waveguide without backed ground plane) ดังแสดงในภาพที่ 1 ซึ่งประกอบด้วย สตริป (Strip) อยู่ตรงกลางด้านบนของฐานรองไดอิเล็กทริก (Substrate) โดยมีความกว้างของสตีปคือ S ด้านข้างทั้งสองข้างของสตีปมีลักษณะเป็นร่อง (Slot) และระนาบกราวด์ตามลำดับ ซึ่งความกว้างระหว่างสตีปถึงระนาบกราวด์คือ W และมีความหนาของฐานรองไดอิเล็กทริกคือ h ดังแสดงในภาพที่ 1



ภาพที่ 1 โครงสร้างสายนำสัญญาณระนาบร่วมชนิดไม่มีกราวด์ด้านล่าง

ค่าอิมพีแดนซ์คุณลักษณะของสายนำสัญญาณหาได้จาก

$$Z_0 = \frac{60}{\pi \sqrt{\epsilon_{re}}} \frac{1}{K(k_1)/K'(k_1) + K(k_3)/K'(k_3)}$$

ค่าคงที่ไดอิเล็กทริกประสิทธิผลหาได้จาก

$$\epsilon_{re} = 1 + q(\epsilon_r - 1)$$

โดยที่

$$q = \frac{\kappa(k_2)/\kappa'(k_2)}{\kappa(k_1)/\kappa'(k_1) + \kappa(k_3)/\kappa'(k_3)}$$

เมื่อ q คือ ตัวประกอบการคูณ และ

$$k_1 = \frac{s}{s + 2w}$$

$$k_2 = \frac{\sinh(\pi s/4h)}{\sinh(\pi(s + 2w)/h)}$$

$$k_3 = \frac{\tanh(\pi s/4h_1)}{\tanh(\pi(s + 2w)/4h_1)}$$

โดยที่

S คือ ความกว้างของสายนำสัญญาณ

W คือ ความกว้างของร่อง

h คือ ความสูงของฐานรองไดอิเล็กทริก

h₁ คือ ระยะความสูงของกรอบชีลด์ (Cover Shield)

การอินทิกรัลวงรีแบบสมบูรณ์ชั้นแรกสามารถหาได้โดย

$$\kappa(k) = \int_0^{\pi/2} \frac{d\theta}{\sqrt{1 - k^2 \sin^2 \theta}}$$

โดยที่

$$\kappa'(k) = \kappa(k')$$

$$k' = \sqrt{1 - k^2}$$

และอัตราส่วนของ $\kappa(k)/\kappa'(k)$ สามารถหาได้โดยการประมาณคือ

$$\frac{\kappa(k)}{\kappa'(k)} = \frac{\pi}{\ln \left[2(1 + \sqrt{k'}) / (1 - \sqrt{k'}) \right]}$$

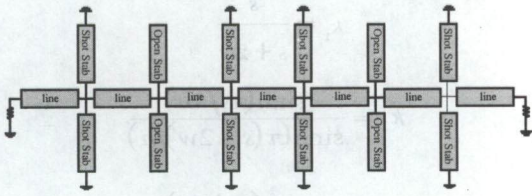
เมื่อ $0 \leq k \leq 0.707$

$$\frac{\kappa(k)}{\kappa'(k)} = \frac{1}{\pi} \ln [2(1 + \sqrt{k})(1 - \sqrt{k})]$$

เมื่อ $0.707 \leq k \leq 1$

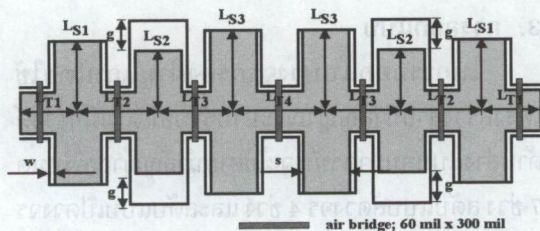
3. การออกแบบ

ในการออกแบบวงจรกรองผ่านแถบโดยใช้โครงสร้างสายนำสัญญาณระนาบร่วมชนิดไม่มีกราวด์ด้านล่างแบบสมมาตรนั้น จะใช้สายนำสัญญาณทั้งหมด 7 ช่วง สตีปแบบลัดวงจร 4 ช่วง และสตีปแบบเปิดวงจร 2 ช่วง โดยจะใช้สตีปในแต่ละช่วง ละเอียด 2 ชิ้น ดังแสดงในภาพที่ 2



ภาพที่ 2 โครงสร้างวงจรรองผ่านแถบแบบสมมาตร

กำหนดให้ความกว้างของสติป และ ร่องระหว่างสติปถึงระนาบกราวด์ มีขนาดเท่ากันทุกช่วงของวงจรรองผ่านแถบ ซึ่งความกว้างของสติป $S = 65.5$ มิล และร่องระหว่างสติปถึงระนาบกราวด์ = 25 มิล นั่นคือค่าอิมพีแดนซ์คุณลักษณะของสายนำสัญญาณจะมีขนาดเท่ากับ 50 โอห์ม ซึ่งจะเท่ากับอิมพีแดนซ์ของขั้วต่อ SMA ที่ต่อเชื่อมกับอินพุตและเอาต์พุตของวงจรรองผ่านแถบ โดยความยาวของสายนำสัญญาณ L_{T1} ด้านซ้าย จะต้องเท่ากับความยาวของสายนำสัญญาณ L_{T1} ด้านขวา, ความยาวของสายนำสัญญาณ L_{T2} ด้านซ้ายจะต้องเท่ากับ ความยาวของสายนำสัญญาณ L_{T2} ด้านขวา, ความยาวของสายนำสัญญาณ L_{T3} ด้านซ้ายจะต้องเท่ากับ ความยาวของสายนำสัญญาณ L_{T3} ด้านขวาถอยร่นเข้ามาตามลำดับ ในส่วนของสติปก็เช่นเดียวกันคือ ความยาวของสติปแบบลัดวงจร L_{s1} ด้านซ้ายทั้งด้านบนและด้านล่าง จะต้องเท่ากับ ความยาวของสติปแบบลัดวงจร L_{s1} ด้านขวาทั้งด้านบนและด้านล่าง, ความยาวของสติปแบบเปิดวงจร L_{s2} ด้านซ้ายทั้งด้านบนและด้านล่าง จะต้องเท่ากับ ความยาวของสติปแบบเปิดวงจร L_{s2} ด้านขวาทั้งด้านบนและด้านล่าง โดยมีค่าความกว้างของช่องปลายเปิด $g = 80$ มิล, ความยาวของสติปแบบลัดวงจร L_{s3} ด้านซ้ายทั้งด้านบนและด้านล่าง จะต้องเท่ากับ ความยาวของสติปแบบลัดวงจร L_{s3} ด้านขวาทั้งด้านบนและด้านล่างตามลำดับ

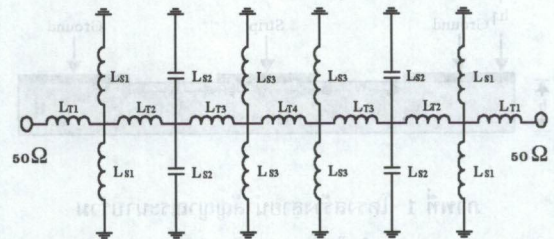


ภาพที่ 3 แบบจำลองการทำงาน

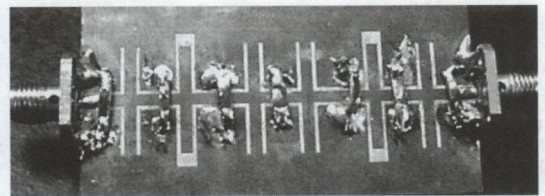
จากการจำลองการทำงาน จะทำให้ได้ขนาดความยาวของสายนำสัญญาณของวงจรรองผ่านแถบโดยใช้สายนำสัญญาณระนาบร่วมชนิดไม่มีกราวด์ด้านล่างแบบสมมาตรดังนี้

$$\begin{aligned} L_{T1} &= 289 \text{ มิล}, & L_{S1} &= 325 \text{ มิล}, \\ L_{T2} &= 320 \text{ มิล}, & L_{S2} &= 320 \text{ มิล}, \\ L_{T3} &= 400 \text{ มิล}, & L_{S3} &= 338 \text{ มิล}, \\ L_{T4} &= 310 \text{ มิล} \end{aligned}$$

นอกจากนี้ยังสามารถแปลงขนาดความยาวของสายนำสัญญาณ และสติปให้เป็นวงจรเทียบเคียงได้อีกด้วยดังแสดงในภาพที่ 4 ซึ่งพบว่า สติปแบบเปิดวงจร L_{s2} จะแสดงคุณสมบัติคล้ายกับเป็นตัวเก็บประจุ ส่วนสายนำสัญญาณและสติปแบบลัดวงจรอื่น ๆ จะแสดงคุณสมบัติคล้ายกับเป็นตัวเหนี่ยวนำ งานวิจัยชิ้นนี้มีขนาด 2328 มิล x 905 มิล ซึ่งชิ้นงานจริงดังแสดงรูปที่ 5



ภาพที่ 4 วงจรเทียบเคียงของวงจรรองผ่านแถบโดยใช้สายนำสัญญาณระนาบร่วมแบบสมมาตรชนิดไม่มีกราวด์ด้านล่าง

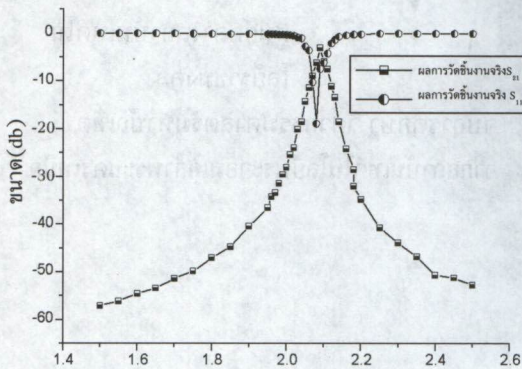


ภาพที่ 5 ชิ้นงานสมบูรณ์ของวงจรรองผ่านแถบโดยใช้สายนำสัญญาณระนาบร่วมแบบสมมาตรชนิดไม่มีกราวด์ด้านล่าง

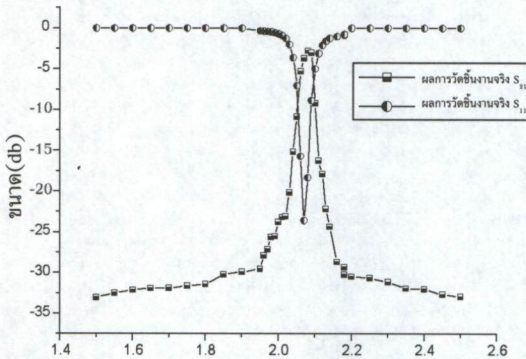
4. ผลการทดลอง

วิธีการวัดทดสอบของวงจรรองผ่านแถบโดยใช้สายนำสัญญาณระนาบร่วมแบบสมมาตรชนิดไม่มีกราวด์ด้านล่าง สามารถแบ่งวิธีการวัดทดสอบออกเป็น

2 ส่วน คือ การวัดทดสอบหาค่าความสูญเสียเนื่องจากการใส่แทรก $S_{21} = -1.96$ dB และ การวัดทดสอบหาค่าความสูญเสียเนื่องจากการย้อนกลับ $S_{11} = -19.19$ dB แบนด์วิดท์มีค่าประมาณ 90 MHz โดยค่าผลการทดลองที่ได้ดังแสดงในภาพที่ 6



ความถี่(GHz)
(ก)



ความถี่(GHz)
(ข)

ภาพที่ 6 ผลการทดลองของวงจรกรองผ่านแถบโดยใช้สายนำสัญญาณระนาบร่วมแบบสมมาตรชนิดไม่มีกราวด์ด้านล่าง (ก) การจำลองการทำงาน (ข) การวัดชิ้นงานจริง

5. สรุป

ผลจากการวัดชิ้นงานจริงพบว่าค่าความสูญเสีย

เนื่องจากการใส่แทรกสูงกว่า -3 dB และค่าความสูญเสียเนื่องจากการย้อนกลับต่ำกว่า -10 dB ซึ่งผลการทดลองที่ได้มีความสอดคล้องกับทฤษฎีการจำลองการทำงาน ซึ่งยอมรับได้ โดยสามารถนำไปประยุกต์และพัฒนาไปเป็นวงจรรวมไมโครเวฟต่อไป

6. เอกสารอ้างอิง

- [1] A. Görür. "A novel coplanar slow-wave structure" *IEEE Microwave and Guided Wave Lett.*, vol. 4, no. 3, Mar 1994.
- [2] W.H. Haydl. "Properties of meander coplanar transmission lines." *IEEE Microwave and Guided Wave Lett.*, vol. 2, no. 11, Nov 1992.
- [3] Mohsen Nached, Ingo Wolff. "Equivalent Capacitance of Coplanar Waveguide Discontinuities and Intredigitated Capacitors Using a Three-dimensional Finite Difference Method." *IEEE Trans. Microwave Theory and Tech.*, vol. 38, no. 12, pp. 1808-1815, Dec. 1990.
- [4] E. A. Soliman, P. Pieters, and E. Beyne. "Thin Film Tunnels Versus Air-Bridges in Coplanar Waveguide Discontinuities." *IEEE Letter.*, 1998.
- [5] Klaus Beilenhoff, Harald Klingbeli, Wolfgang Heinrich and Hans L. Hartnagel. "Open and Short Circuits in Coplanar MMIC's." *IEEE Trans. Microwave Theory and Tech.*, vol. 41, no. 9, pp.1534-1537, Sep 1993.
- [6] T. N. Chang and Y.H. Shiu. "Coplanar Waveguide Filters with Floating strips." *IEE Proc. Microwave. Antennas Propag.*, vol. 147, no. 1, pp. 58-62, Feb 2000.
- [7] Yu-Kang Kuo, Chi-Hsueh Wang and Chun Hsiung Chen. "Novel Reduced- Size Coplanar Waveguide Bandpass Filter." *IEEE Microwave and Wireless Letters*, vol. 11, no. 12, pp. 65-67, Feb 2001.

[8] Khelifa Hettak, Tony Laneve and Malcolm G.Stubs. "Size-Reduction Techniques for CPW and ACPS Structures." *IEEE Trans. Microwave Theory and Tech.*, vol. 49, no. 11, pp. 2112-2116, Nov 2001.


[9] Brain C. Wadell. "Transmission Line Design Handbook." Artech House, 1991.

[10] K. C. Gupta, R. Garg, I. Bahl and P. Bhartia. "Microstrip Lines and Slotlines". 2nd edition, Atech House, London, 1996.

[11] C.P. Wen. "Coplanar-Waveguide Directional Coupler." *IEEE Trans. On Microwave Theory and Tech.*, Vol. 18, pp. 318-332, June 1970.

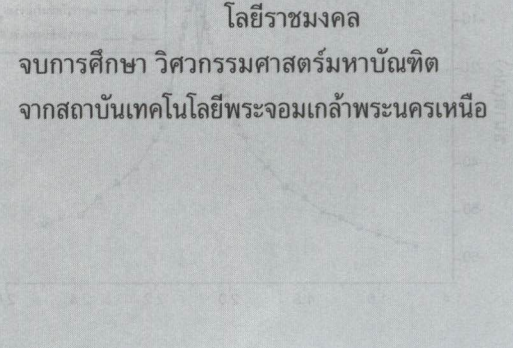
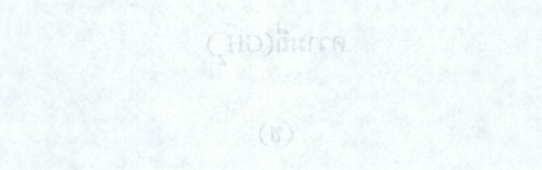
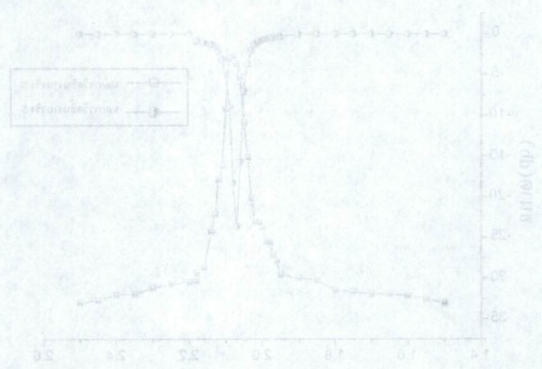
[12] L. Yuan, J. Paul, and P. Yen, "140 GHz Quasi-Optical Planar Mixer," *IEEE MTT-S Int. Microwave Symp.*, pp. 374-375, 1982.

ประวัติผู้วิจัย



นางสาวอภิตา นามแสง
 อาจารย์ประจำภาควิชา
 วิศวกรรมไฟฟ้า
 คณะวิศวกรรมศาสตร์
 ศูนย์กลางสถาบันเทคโนโลยี
 ราชพฤกษ์

จบการศึกษา วิศวกรรมศาสตรมหาบัณฑิต
 จากสถาบันเทคโนโลยีพระจอมเกล้าพระนครเหนือ

รูปที่ 5 ผลการทดลองของวงจรกรองความถี่แบบแบนด์พาส (ก) ที่ใช้ตัวกรองความถี่แบบแบนด์พาสที่มีวงจรตัวกรองความถี่แบบแบนด์พาส (ข) ที่ใช้ตัวกรองความถี่แบบแบนด์พาส